



## სამეაროს ევოლუცია

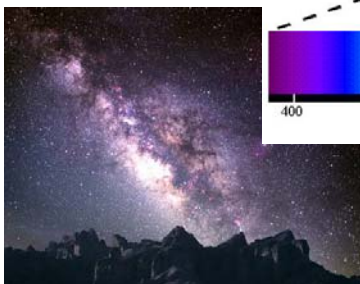
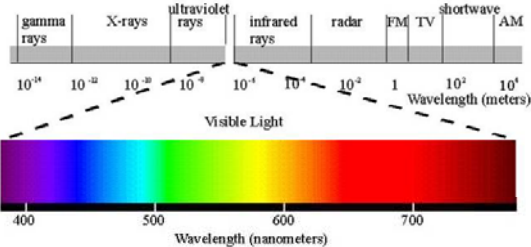
### ლექცია 6

ვარსკვლავების ევოლუცია,  
 ზეახალი ვარსკვლავები,  
 თეთრი ჯუჯები, ნეიტრონული ვარსკვლავები,  
 შავი ხვრელები

### ხილული სამეარო

ადამიანის თვალი ხედავს ელექტრომაგნიტური სპექტრის მხოლოდ მცირე უბანს:

ოპტიკური უბანი



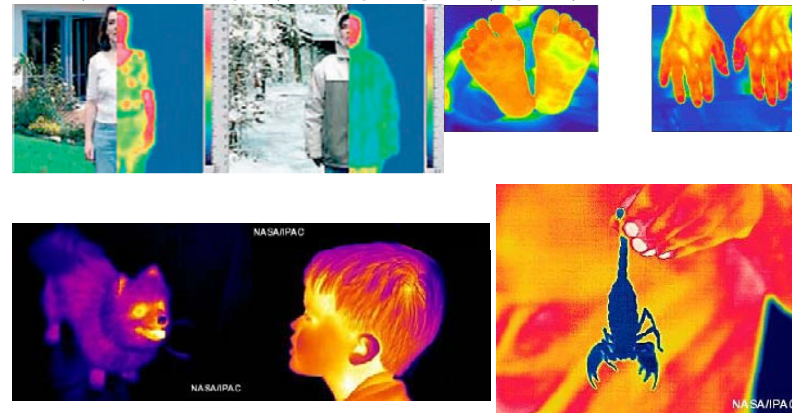
ცის ოპტიკური გამოსახულება ინფორმაციის მცირე ნაწილი

### წინა ლექციაში

- ვარსკვლავების გამოსხივება
- გამოსხივების სპექტრი
- სპექტრული კლასიფიკაცია
- HR დიაგრამა

### ინფრაწითელი სამეარო

ადამიანის თვალისათვის უხილავი დიაპაზონი



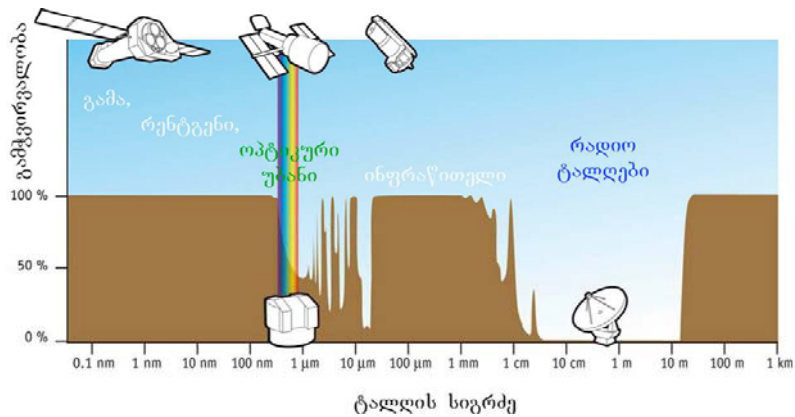
### ოპტიკური გამოსახულებასამყარო

სამყარო ხილულ უბანში



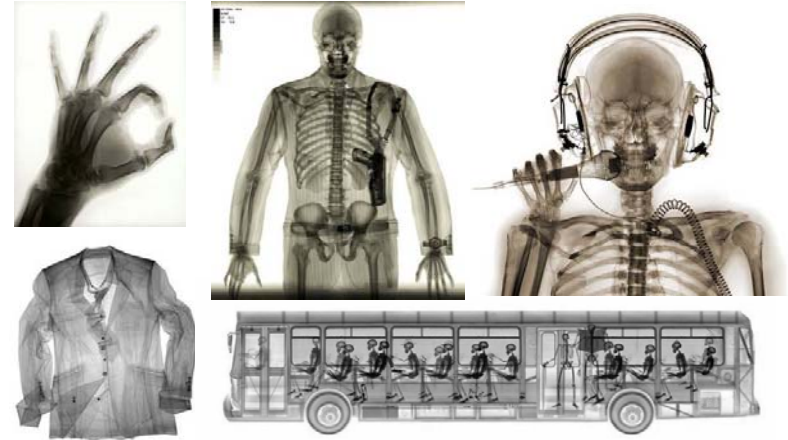
### დაკვირვებები დედამიწიდან

ატმოსფეროს გამჭვირვალობა ელექტრომაგნიტური ტალღების სხვადასხვა დიაპაზონში



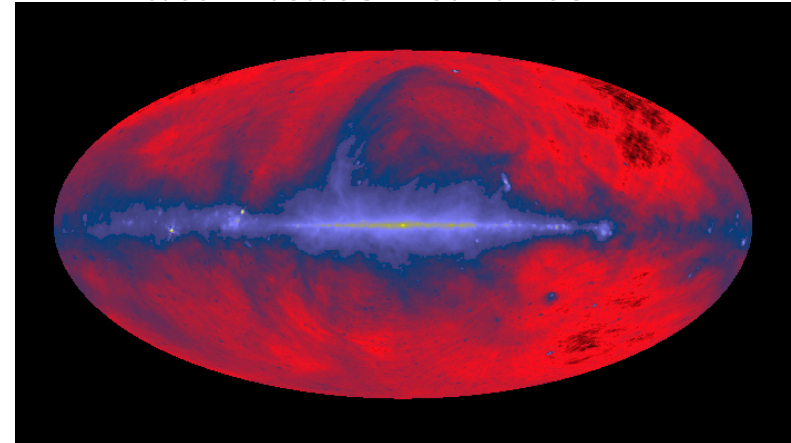
### რენტგენული სამყარო (X-ray)

ადამიანის თვალისათვის უხილავი დიაპაზონი



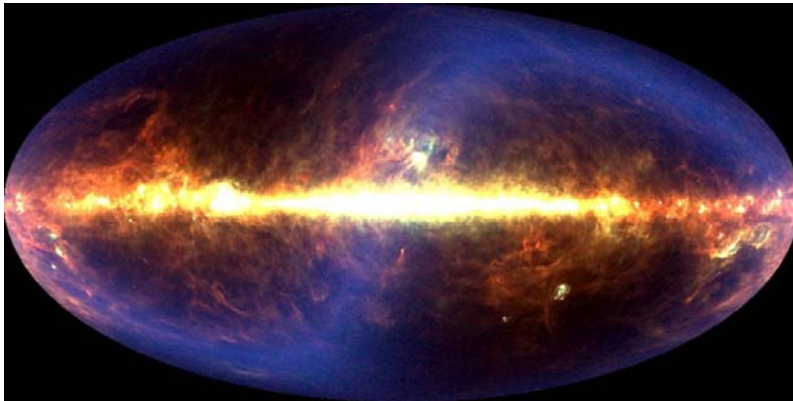
### რადიო დიაპაზონი

ობიექტების ეფექტური ტემპერატურა: ~1K



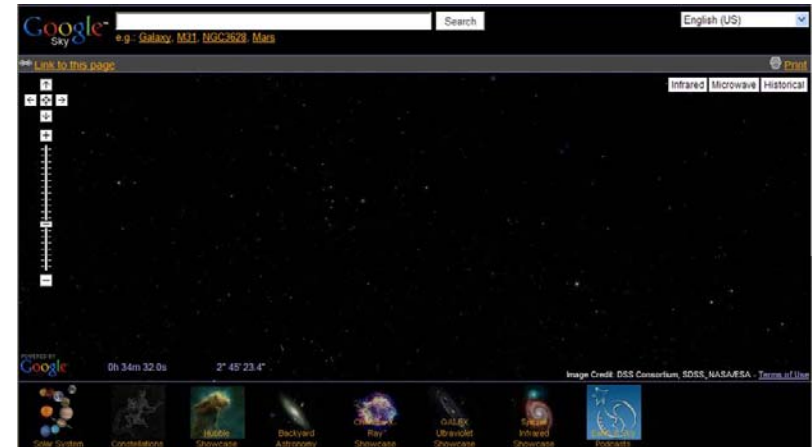
### ინფრაწითელი დიაპაზონი

ობიექტების ეფექტური ტემპერატურა: ~100K



### თვალით ხილული (ოპტიკური) დიაპაზონი

www.google.com/sky



### ინფრაწითელი და მიკროტალღოვანი

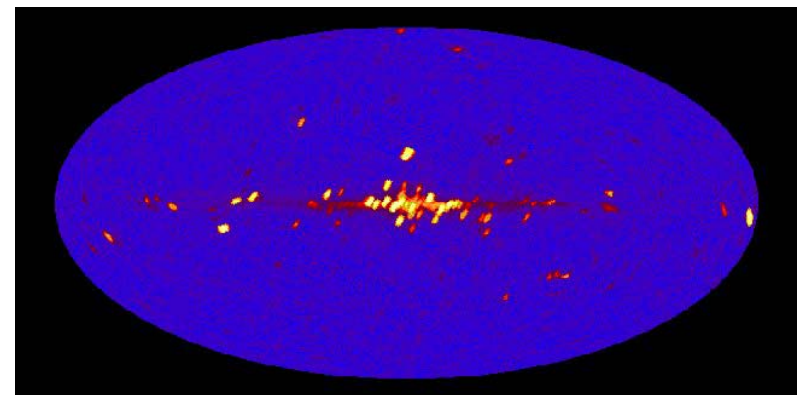
www.google.com/sky



### რენტგენული დიაპაზონი (X-ray)

ფოტონის ენერგია:  $10^3-10^4$  eV

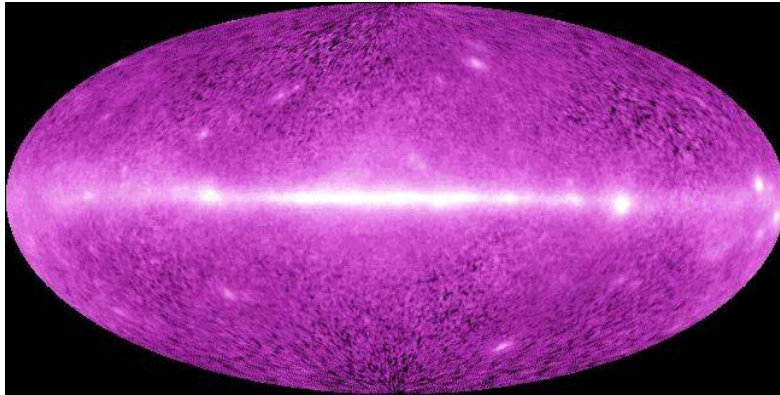
ობიექტების ეფექტური ტემპერატურა: ( $\sim 10^8$  K)



### გამა დიაპაზონი

ფოტონის ენერგია:  $10^6-10^9$  eV

ობიექტების ეფექტური ტემპერატურა: ( $\sim 10^{13}$  K)



### ვარსკვლავების ევოლუცია

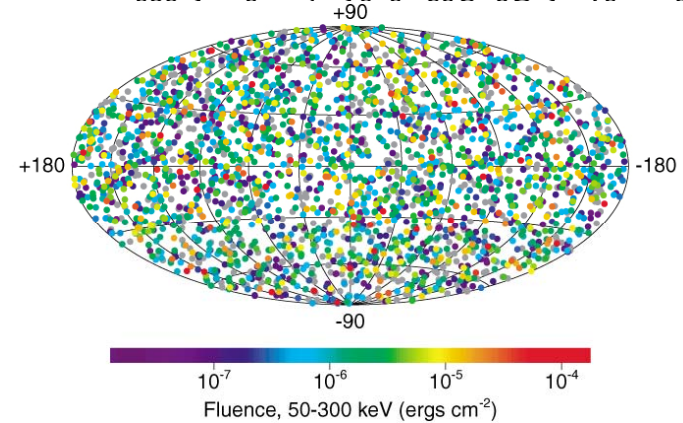
მოლეკულური ღრუბლები და ვარსკვლავთშორისი გაზი: ვარსკვლავთწარმოშობის არეები

ევოლუციის მიმართულება:

1. ადრეული ვარსკვლავები: პროტოვარსკვლავები;
2. ძირითადი თანმიმდევრობის ვარსკვლავები;
3. გვიანი ტიპის ვარსკვლავები და გიგანტები;
4. ზეახალი ვარსკვლავი
5. კომპაქტური ნარჩენები

### გამა დიაპაზონი

გამა გამოსხივების გაელვებები ( $\sim 0.2$  წმ)  
სამაროში ყველაზე მაღალენერგეტიკული წყაროები



### მოლეკულური ღრუბლები

გრავიტაციულად შეკავებული ცივი მოლეკულური აირი

შთანთქავს ფონური ვარსკვლავების გამოსხივებას



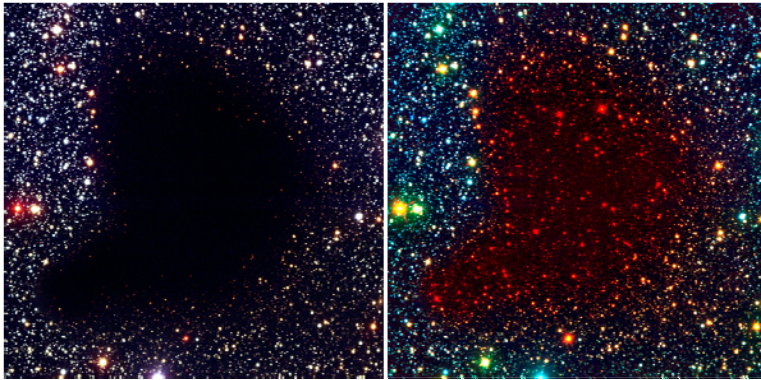
მოლეკულური ღრუბელი ბარნარდ-68 ( $H_2+CO+CN, CH_4, NH_3 \dots$ )

### მოლეკულური ღრუბლები

Barnard-68

ხილული

ინფრაწითელი



### პროტოვარსკვლავი

ვარსკვლავის დაბადების ადრეული ეტაპი:

პროტოვარსკვლავი

მნათობი + ნარჩენი აირი



### ვარსკვლავთ წარმოშობა

თვითგრავიტაციის  
ძალებით  
აირის  
ვარსკვლავებში  
კოლენსაცია

გრავიტაციული  
ფრაგმენტაცია



### პროტოვარსკვლავი

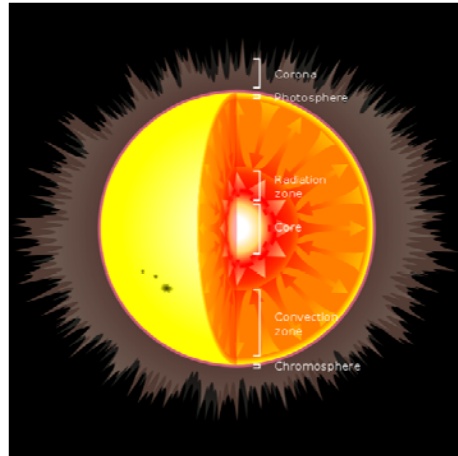
პროტოვარსკვლავი  
შთანთქმავს მის  
ირგვლივ არსებულ  
აირად მატერიას და  
წარმოქმნის  
ახალგაზრდა  
ვარსკვლავს



### ძირითადი თანმიმდევრობის ვარსკვლავი

ევოლუციის  
სტაბილური  
ეტაპი

ენერჯის წყარო:  
თერმოზირთვული  
რეაქციები  
( P+P, CNO )

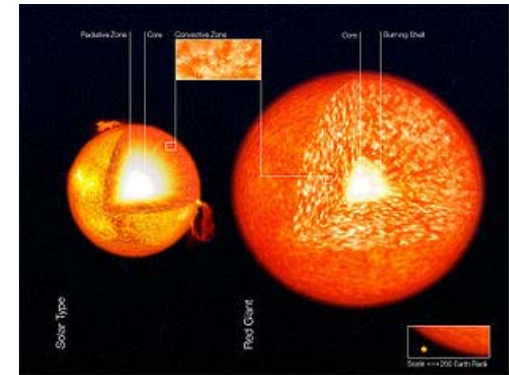


### წითელი გიგანტი

ვარსკვლავის ბირთვის თერმოზირთვული  
“გამოწვის” პროცესი:

ტემპერატურისა  
და რადიუსის  
ნელი მატება

უარყოფითი  
სითბოტევადობა

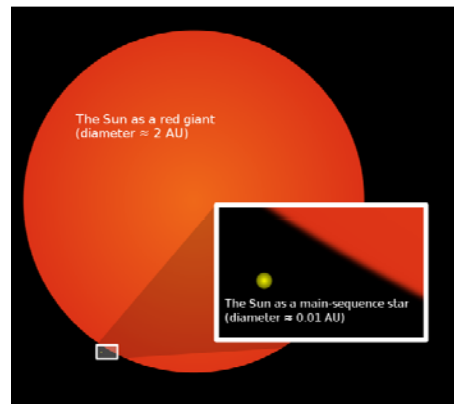


### მზის მომავალი: წითელი გიგანტი

მზის რადიუსის მატება:

>200 R<sub>მზე</sub>  
> 2 ა.ე.

პლანეტების  
შთანთქმა  
(დედამიწა ☾)



### ვარსკვლავის სიკვდილი

ბირთვული საწვავის გამოლევა: 1) H-H, 2) CNO

ვარსკვლავის კატასტროფული შეკუმშვა:  
საკუთარი სიმძიმის ქვეშ კოლაფსი

ტემპერატურის სწრაფი ზრდა:  
ბირთვული რეაქციები: r-პროცესი  
(მძიმე ქიმიური ელემენტ. თერმოზირთ. რეაქციები)  
ფეთქებადი ნუკლეოსინთეზი

ვარსკვლავის აფეთქება

### ზეახალი ვარსკვლავები

საშუალო და დაბალი მასის ვარსკვლავები (<2.25M<sub>☉</sub>)

#### - ჰელიუმის ანთება

ვარსკვლავის გულში ტემპერატურის მატება და ჰელიუმის თერმობირთვული სინთეზის დაწყება;



მასიური ვარსკვლავები:

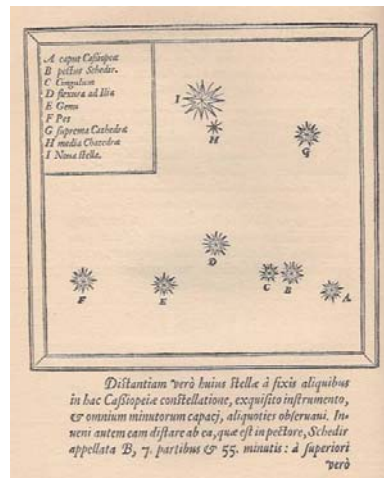
#### - ბირთვის კოლაფსი;

ვარსკვლავის ბირთვის კოლაფსი და ვარსკვლავის გარეთა ფენების "ჩაქცევა" ცენტრზე. შეკუმშვისას ანომალურად მაღალი ტემპერატურის მიღება და სწრაფი თერმობირთვული სინთეზის რეაქციების ჩართვა (r-პროცესი); "ვარსკვლავის აფეთქება"

### ზეახალი: დაკვირვებები

ტიხო ბრაგე 1572:

ახალი მნათობის აღმოჩენა ცაზე

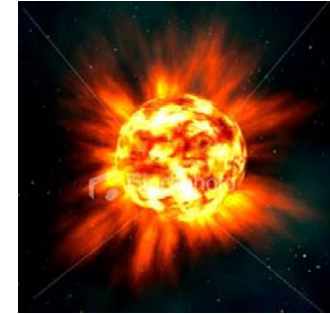


### ზეახალი ვარსკვლავი

აფეთქების ნათების გაელვება (~1 კვირა)

ვარსკვლავის ცენტრში გამოიყოფა დიდი რაოდენობით ენერჯია: ნათობის რამოდენიმე რიგით ზრდა

აფეთქების შედეგად ვარსკვლავი კარგავს გარე შრის მნიშვნელოვან ნაწილს



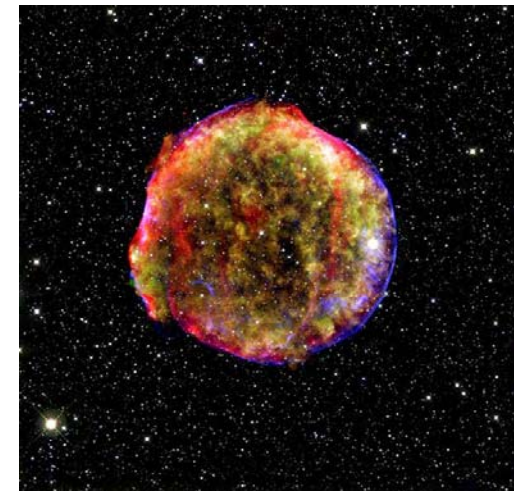
### ზეახალი: დაკვირვებები

SN 1572

B Cassiopeiae

სურათი დღეს

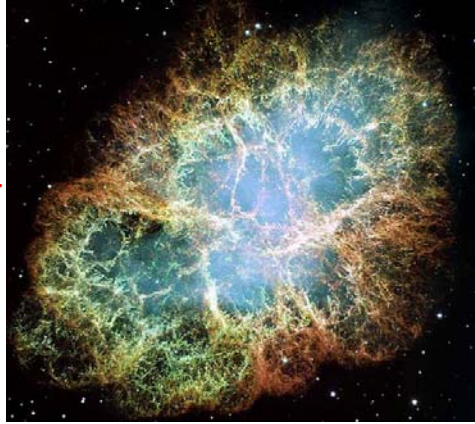
ზეახალის აფეთქების ნარჩენი



### ზეახალის ნარჩენები კიბორჩხალას ნისლეული

ჩინელი და არაბი  
ასტრონომების  
დაკვირვებები  
ზეახალი 1054 ჩვ.წ.

დღეს:  
ნარჩენი  
ნისლეული



### ზეახალი: დაკვირვებები

Helix Nebula



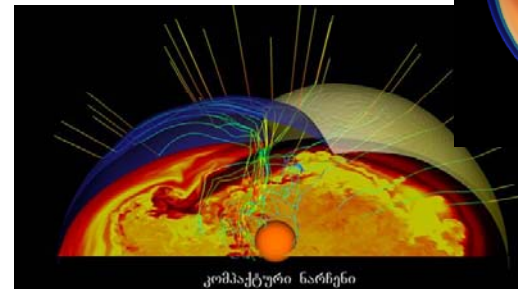
### ზეახალი: დაკვირვებები

Helix Nebula

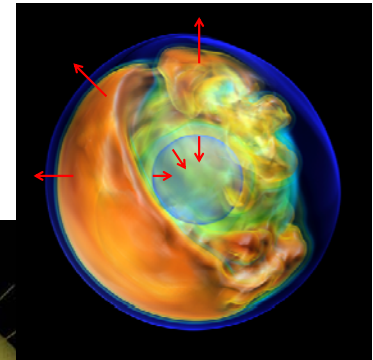


### ზეახალი: რიცხვითი მოდელირება

აფეთქება გარეთ;  
შეკუმშვა შიგნით:  
ზეახალის ნარჩენი



კომპაქტური ნარჩენი



### ზეახალის კომპაქტური ნარჩენები

ობიექტის წონასწორობა:

სიმძიმის ძალა დაბალანსებულია “გადაგვარებული მატერიის” წნევით;

ანომალურად მკვრივი ნივთიერებების ქვანტური თვისებები

– თეთრი ჯუჯა

(გადაგვარებული ელექტონული გაზი)

– ნეიტრონული ვარსკვლავი

(გადაგვარებული ნეიტრონული ნივთიერება)

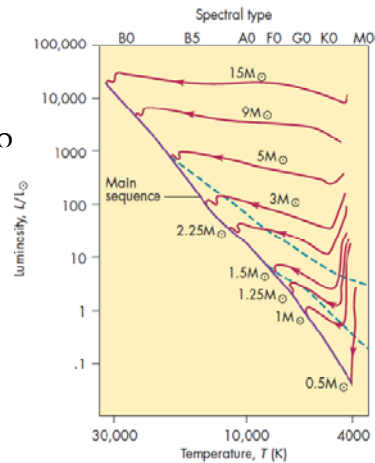
– შავი ხვრელი

(აბსოლუტური კოლაფსი)

### ვარსკვლავების ევოლუცია

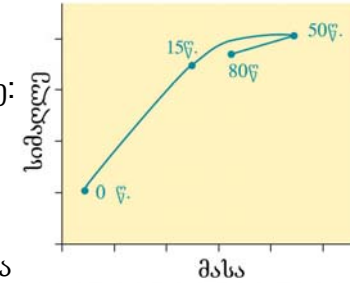
ვარსკვლავების დაბადება:  
პროტოვარსკვლავები და  
ახალგაზრდა ვარსკვლავები

სხვადასხვა მასის  
ვარსკვლავების  
დაბადების  
ტრაექტორია  
ჰ-რ დიაგრამაზე.



### ვარსკვლავების ევოლუცია

მაგ: ადამიანის ევოლუცია  
მასა-სიმძიმის დიაგრამაზე:



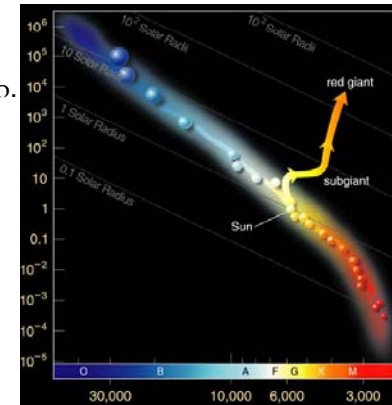
ანალოგიურად შესაძლებელია  
ვარსკვლავების ევოლუციის აღწერა ჰერცშპრუნგ  
რასელის დიაგრამაზე:

ნათობა-ფერი ან ნათობა-ტემპერატურა;

### ვარსკვლავების ევოლუცია

ძირითადი თანმიმდევრობის ვარსკვლავი სიცოცხლის  
უდიდეს ნაწილს ატარებს  
ჰ.-რ. დიაგრამაზე  
თითქმის უცვლელ წერტილში.

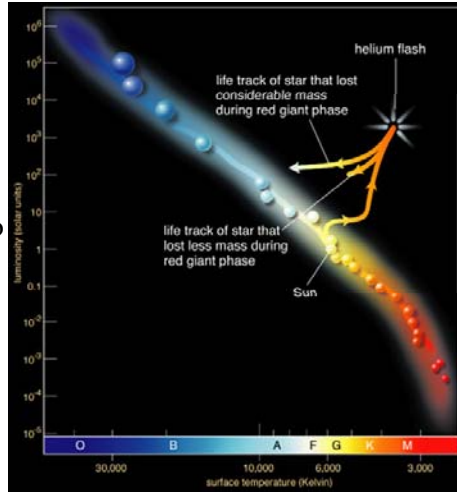
თერმობირთვული საწვავის  
გამოლევისას მზის ტიპის  
ვარსკვლავი გარდაიქმნება  
წითელ გიგანტად



### ვარსკვლავების ევოლუცია

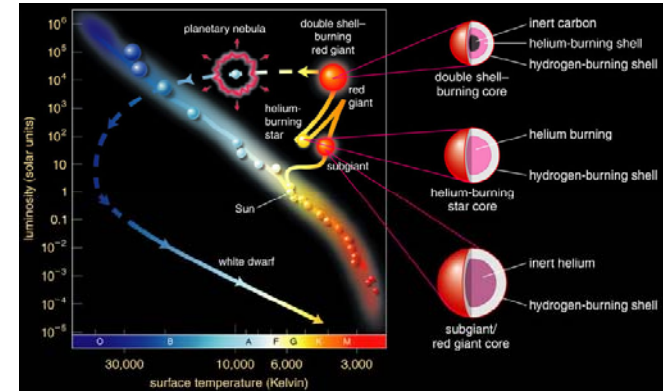
მზის ტიპის  
ვარსკვლავის  
დაღუბვა:

ვარსკვლავის გულში  
ჰელიუმის ანთება  
და ვარსკვლავის  
გარეთა შრეების  
გაფანტვა



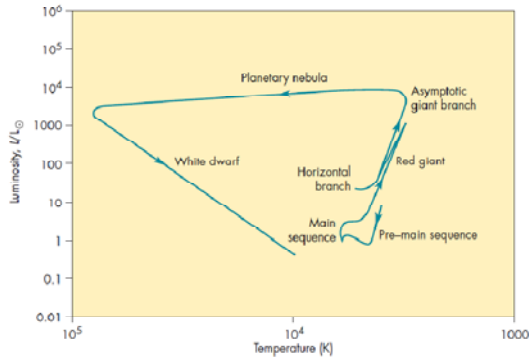
### ვარსკვლავების ევოლუცია

გარეთა ფენების გაფანტვა და ბირთვისაგან  
თეთრი ჯუჯა ვარსკვლავის ჩამოყალიბება



### ვარსკვლავების ევოლუცია

იზოლირებული ვარსკვლავის ევოლუცია სრულიად  
განისაზღვრება მისი საწყისი მასით და ქიმიური  
შემადგენლობით (ფოტ-რასელის თეორემა)



### ზეახალი ვარსკვლავი (Ia)

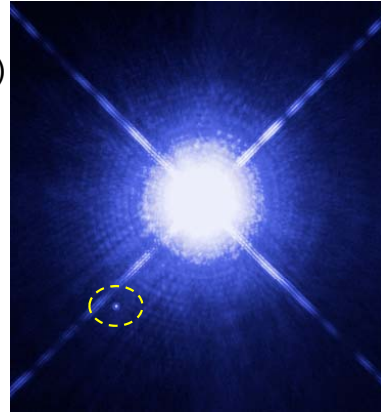


### თეთრი ჯუჯები

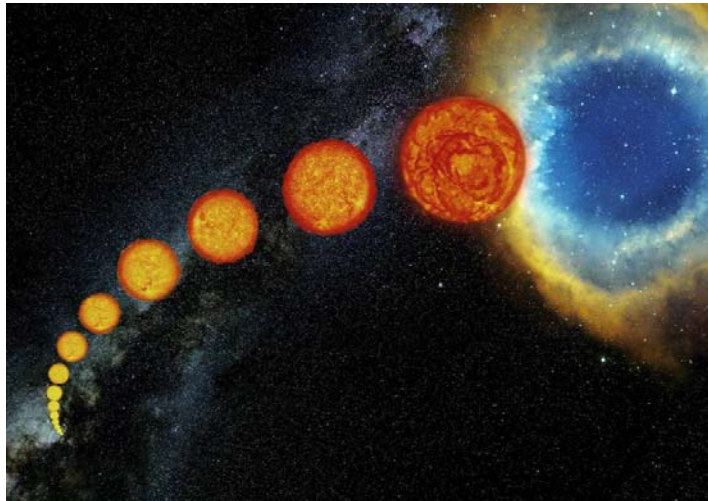
#### სირიუს-ბ

(სირიუსის ორმაგი სისტემა)

მასა: 0.97 (1.05)  $M_{\odot}$   
 რადიუსი: 0.0084  $R_{\odot}$   
 ნათობა: 0.026  $L_{\odot}$   
 სიმკვრივე:  $2.5 \cdot 10^9$  კგ/მ<sup>3</sup>  
 მანძილი დედამიწამდე: 8.6 ს.წ.  
 აღმოჩენის თარიღი: 1862



### მზის მომავალი



### თეთრი ჯუჯები

ზეახალის ნარჩენი ობიექტის მასა:  $< 1.4 M_{\odot}$

ნათების ენერჯის წყარო: სითბური (ნელი გაციება)

ზედაპირული ტემპერატურა  $< 150\,000\text{ K}$

გაციებული თეთრი ჯუჯა: შავი ჯუჯა

ჰიპოთეტური ობიექტი;

გაციების დრო მეტია სამყაროს დღევანდელ ასაკზე

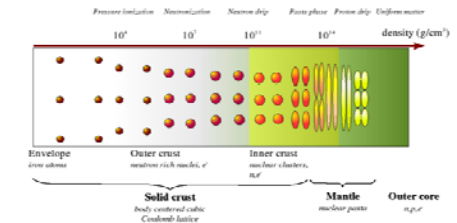
### ნეიტრონული ვარსკვლავი

ზეახალის ნარჩენი ობიექტის მასა:  $1.4 - 3 M_{\odot}$

გადაგვარებული ნეიტრონული სითხე

(ქვანტური ნივთიერება)

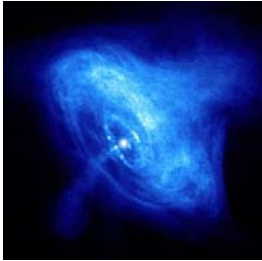
ატომის ბირთვის სიმკვრივის ვარსკვლავი



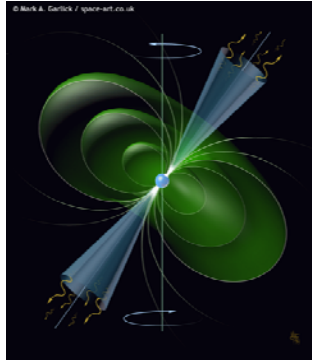
კვარკული  
ნივთიერება

### ნეიტრონული ვარსკვლავი

კიბირჩხალას ნისლეულის პულსარი:  
ძლიერი მაგნიტური ველი და სწრაფი ბრუნვა:  
ვარსკვლავის მიმართული გამოსხივება – პულსაცია



რენტგენის სპექტრულ უბანში

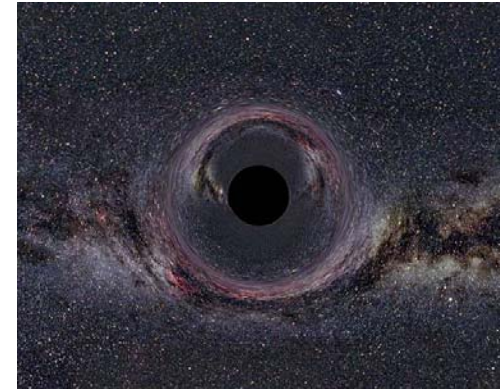


### შავი ხვრელი

ცენტრალური ნარჩენი ობიექტის აბსოლუტური  
გრავიტაციული კოლაფსი

$$M > 3.6 \text{ (4) } M_{\text{სოფე}}$$

ფოტონები  
ჩაიჭირებიან  
გრავიტაციულ  
ორმოში

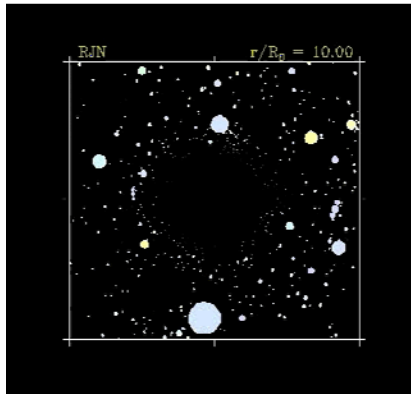


### შავი ხვრელი

ზოგადი ფარდობითობის თეორიის ობიექტი  
სივრცე/დროის გამრუდება

იზოლირებული  
შავი ხვრელები:

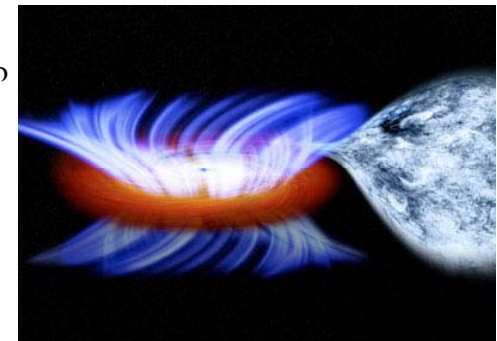
ვარსკვლავების  
მოდრაობის  
კინემატიკის  
დათვლა;



### შავი ხვრელი

აკრეცია შავ ხვრელზე:  
შავი ხვრელის ირგვლივ ჩამდინარე მატერიის  
მორევი

ვარდნის პროცესში  
ტემპერატურის  
მატება და  
გამოსხივება;



## შავი ხვრელი



[www.tevza.org/home/course/universe2015](http://www.tevza.org/home/course/universe2015)

J. Hester, B. Smith, G. Blumenthal, L. Kay, H. Voss, "21st Century Astronomy" (2010)

ქვეთავები 14.1, 14.2, 14.3,  
15.1, 15.2, 15.3, 15.4,  
17.2, 17.3, 17.4, 17.8

J. Fix "Astronomy Journey of the Cosmic Frontier", (2008)

ქვეთავები 19.4, 20.1, 20.2